

# Molekulová spektroskopie

Úvod, symetrie molekul, infračervená  
spektroskopie, Ramanova  
spektroskopie

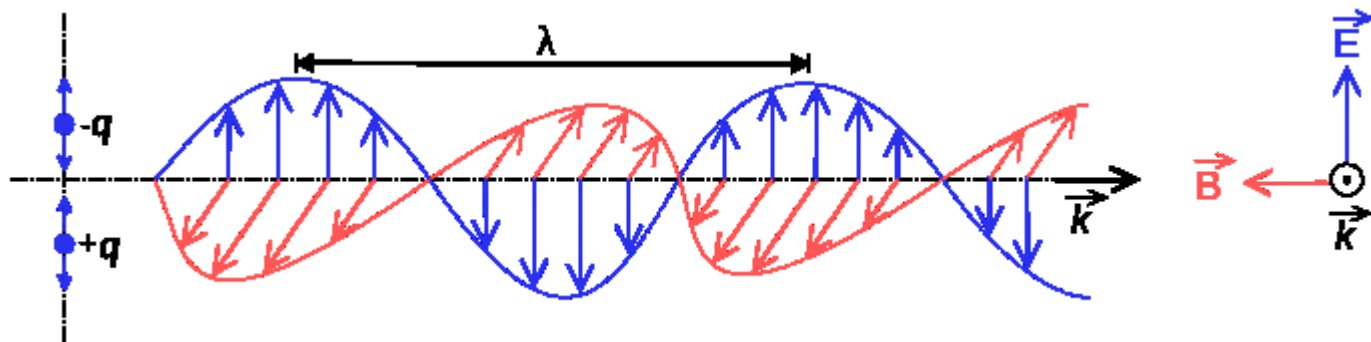
Zdeněk Moravec, A12/316, hugo@chemi.muni.cz

# Molekulová spektroskopie

- Studuje interakci elektromagnetického záření s molekulami vzorku
- Kvalitativní i kvantitativní analytická metoda
- Infračervená spektroskopie
- Ramanova spektroskopie

# Elektromagnetické záření

- Kombinace magnetického a elektrického vlnění (pole)
- $E = h \cdot f = \frac{hc}{\lambda} = hc\tilde{\nu}$
- E – energie záření, h – Planckova konstanta, f – frekvence záření, c – rychlost světla,  $\lambda$  – vlnová délka,  $\tilde{\nu}$  - vlnočet



# Vlnová délka, frekvence, vlnočet

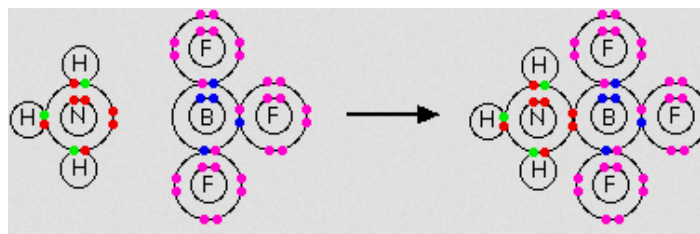
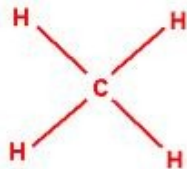
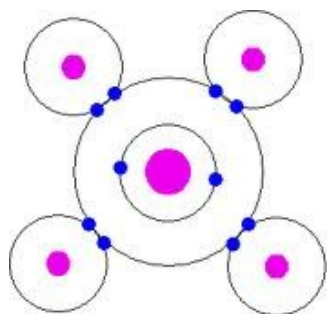
- Vlnová délka – dráha, kterou urazí vlna během jednoho kmitu.  $1 \text{ \AA} = 10^{-10} \text{ m} = 0,1 \text{ nm}$
- Frekvence – počet kmitů vlny za 1 s.  
 $1 \text{ Hz} = 1 \text{ s}^{-1}$
- Vlnočet – počet vln, připadající na dráhu 1 cm ve směru šíření vlny.  $1 \text{ cm}^{-1}$



# Molekulová spektroskopie

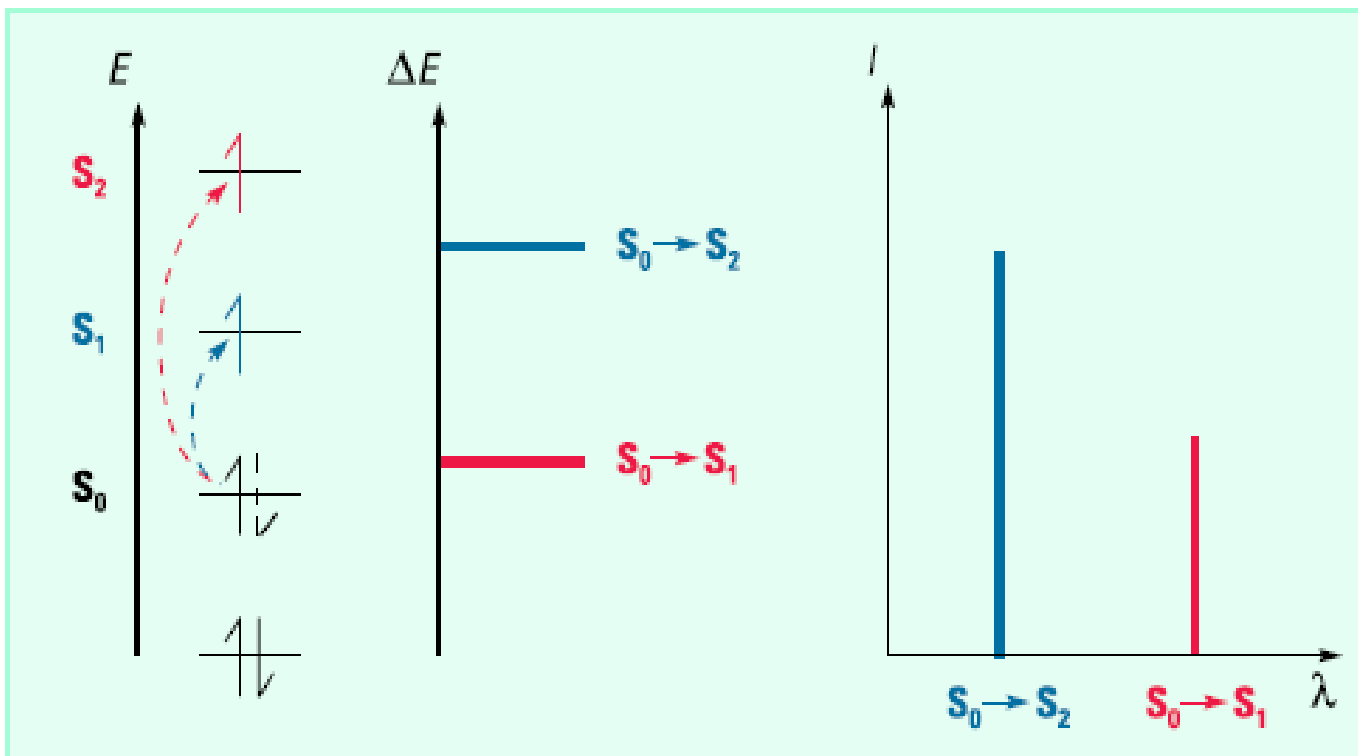
Soubor metod založených na využití těch vlastností molekul, které jsou spojeny s přítomností

- kovalentních vazeb
- koordinačních vazeb



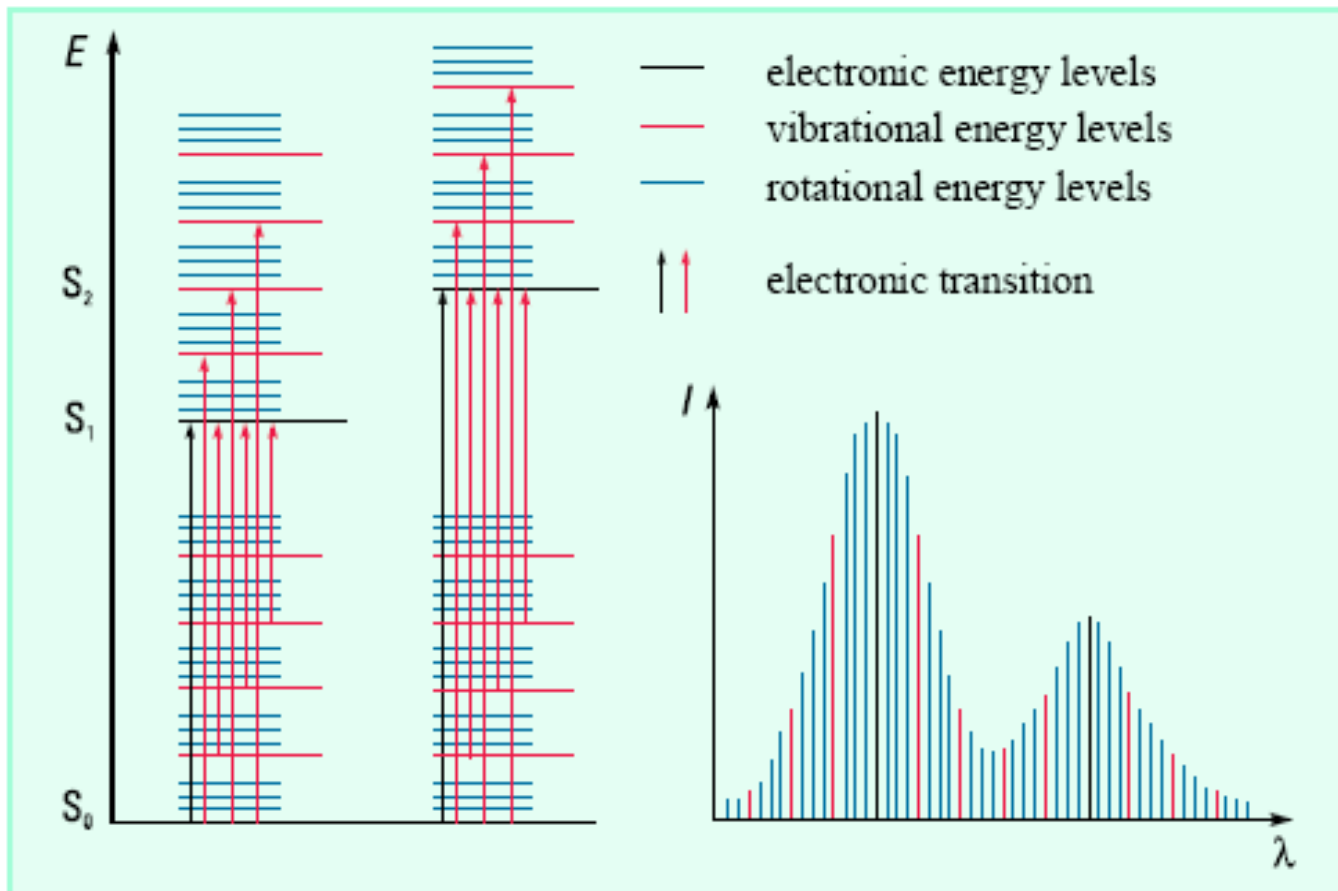
# Molekulová spektroskopie

- Elektronové přechody v molekule



# Molekulová spektroskopie

- Elektronové přechody v molekule

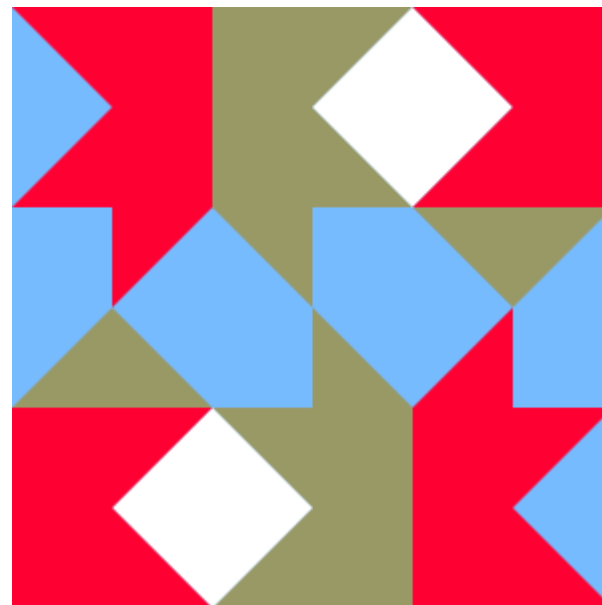
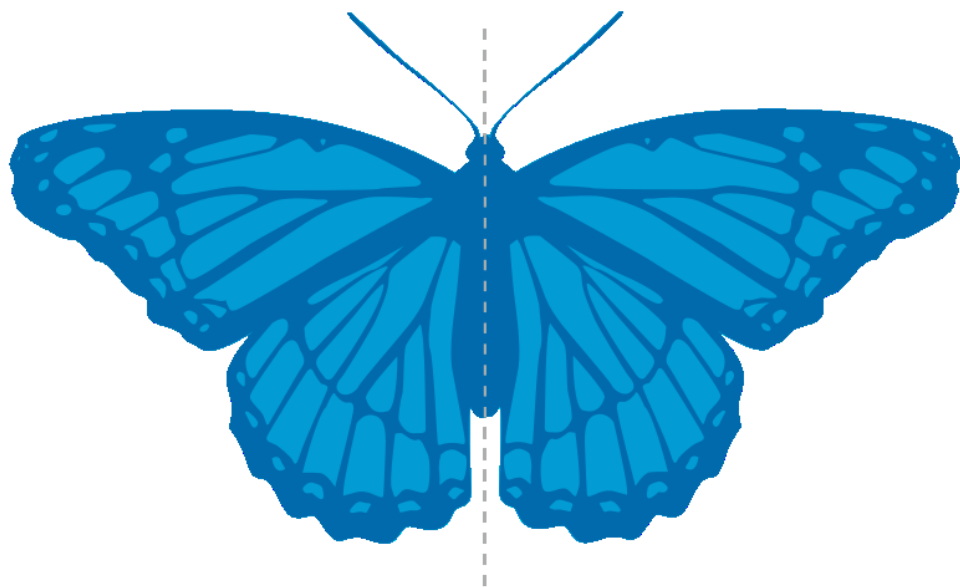




# Molekulová spektroskopie

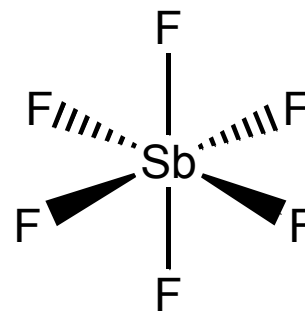
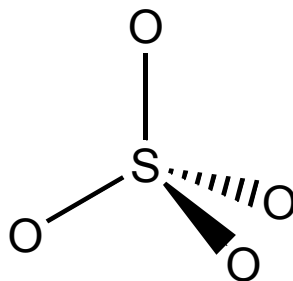
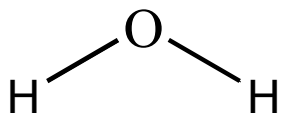
	UV-VIS 50-800 nm	IR 1-100 $\mu\text{m}$	MW 1-10 mm
Elektronická spektroskopie	Absorpční UV/VIS Luminiscenční spektroskopie		
Vibrační spektroskopie	Ramanova spektroskopie	Infračervená spektroskopie	
Rotační spektroskopie	Ramanova spektroskopie		Mikrovlnná spektroskopie

# Symetrie molekul



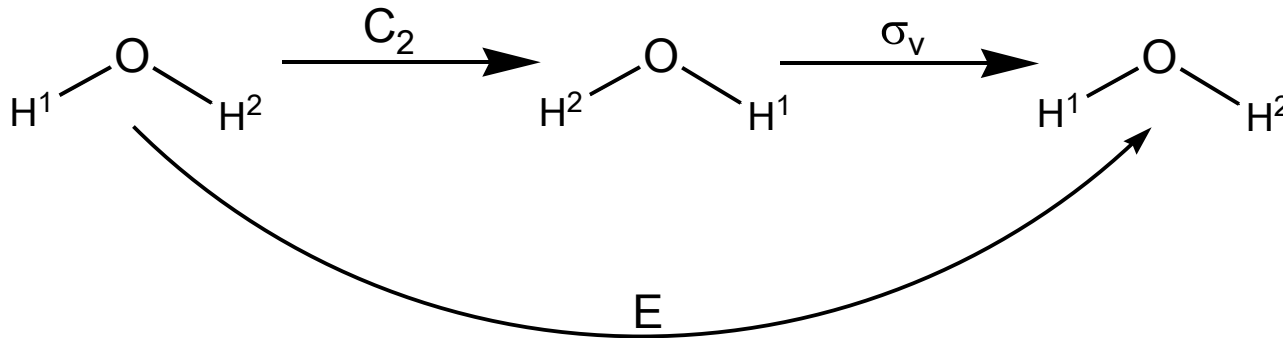
# Operace symetrie

Operace symetrie	Prvek symetrie
Identita (E)	Celý objekt
Rotace $C_n$	Rotační osa
Zrcadlení $\sigma$	Rovina symetrie
Inverze i	Střed symetrie
Nevlastní rotace $S_n$	Rotačně-reflexní osa



# Teorie grup

- Matematická teorie, kterou použijeme k popisu symetrie molekul.
- *Grupa* – množina objektů, jejichž individuální vlastnosti jsou podmíněny navzájem.
- Kombinováním dvou libovolných prvků grupy získáme prvek, který náleží do stejné grupy.



<http://plus.maths.org/content/os/issue48/package/index>

White, J.E. *J. Chem. Ed.* **1967**, *44*, 128-135. An Introduction to Group Theory for Chemists<sub>12</sub>

# Bodové grupy symetrie

- Množina prvků symetrie, jejichž operace ponechávají alespoň jeden bod tělesa nepohyblivý.
- Příslušnost molekuly k bodové grupě se určuje pomocí prvků symetrie dané molekuly.
- Bodové grupy se označují pomocí Schönfliesovy symboliky.

# Bodové grupy $C_1$ , $C_i$ , $C_s$

- $C_1$ : tato grupa obsahuje pouze identitu,  $\text{CHFClBr}$ .
- $C_i$ : E, i. Např.  $\text{FClHC-CHClF}$
- $C_s$ : E,  $\sigma$ . Např.  $\text{CH}_2\text{ClF}$

# Bodové grupy $C_n$ , $C_{nv}$ a $C_{nh}$

- Tyto grupy obsahují vždy identitu a rotační osu s četností vyšší než 1.
- $C_n$ : E,  $C_n$ ;  $H_2O_2$
- $C_{nv}$ : E,  $C_n$ ,  $n \sigma_v$ ;  $H_2O$ ,  $NH_3$
- $C_{nh}$ : E,  $C_n$ ,  $n \sigma_h$ ;  $H_3BO_3$ , *trans*-1,2-dichlorethen

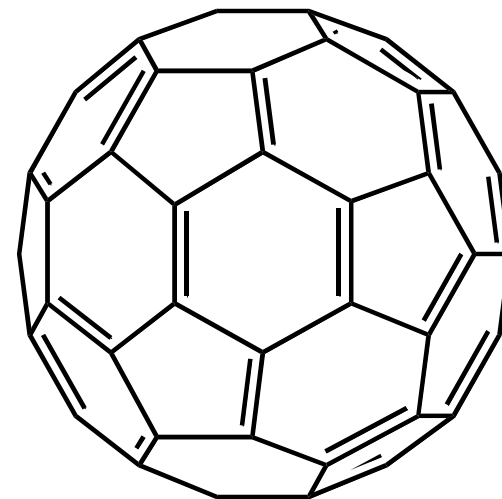
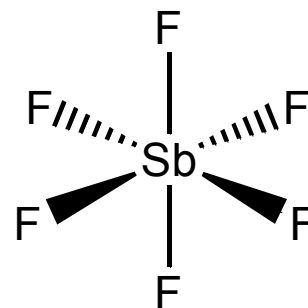
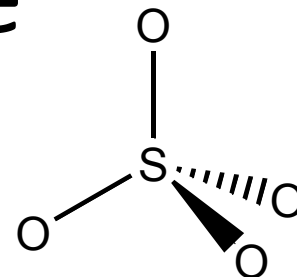
# Bodové grupy $D_n$ , $D_{nh}$ a $D_{nd}$

- Tyto grupy obsahují vždy identitu,  $n$ -četnou rotační osu a  $n$  dvojčetných rotačních os na ni kolmých.
- $D_n$ :  $E, C_n, nC_2$ ;  $D_1 = C_2$ ;
- $D_{nh}$ :  $E, C_n, nC_2, \sigma_h$ , pokud je  $n$  sudé, má grupa i střed symetrie;  $D_{2h}$ : naftalen;  $D_{3h}$ :  $\text{BF}_3$
- $D_{nd}$ :  $E, C_n, nC_2, \sigma_d$ , pokud je  $n$  liché, má grupa i střed symetrie



# Bodové grupy kubické

- Tetraedrické –  $T$ ,  $T_d$ ,  $T_h$ 
  - $T_d$ :  $E$ ,  $4 C_3$ ,  $3 C_2$ ,  $6 \sigma_d$ ; např.  $\text{CH}_4$ ,  $\text{SO}_4^{2-}$
- Oktaedrické –  $O$ ,  $O_h$ 
  - $O_h$ :  $\text{SbF}_6^-$ ,  $\text{Mo}(\text{CO})_6$
- Ikosaedrická:  $I_h$ :  $\text{B}_{12}$ ,  $\text{C}_{60}$



# Úplná rotační grupa

- $R_h$
- Obsahuje nekonečně mnoho os se všemi možnými hodnotami četnosti. Osy se protínají ve středu symetrie. Dále obsahuje nekonečně mnoho rovin symetrie, které procházejí středem symetrie.



# Vibrace chemických vazeb

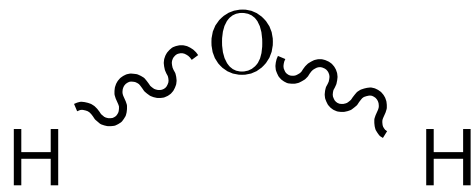
- Během vibrace vazby dochází k periodické změně délky vazby nebo velikosti vazebného úhlu.
- Energie (frekvence) vibrace závisí na síle vazby a hmotnosti atomů, které vazbu tvoří.

$$\nu = \frac{1}{2\pi} \sqrt{\frac{k}{\mu}}; \mu = \frac{m_A m_B}{m_A + m_B}$$

$\nu$  – frekvence vibrace;  $k$  – silová konstanta vazby;  
 $\mu$  – redukovaná hmotnost;  $m_A, m_B$  – hmotnosti atomů

# Silová konstanta vazby (k)

- Závisí na hmotnosti atomů, vazebné energii a řádu vazby.



# Vibrace chemických vazeb

- Během vibrace vazby dochází k přechodu systému na jinou energetickou hladinu.
- Přechod mezi základní a 1. excitovanou hladinou se nazývá *základní (fundamentální) vibrace*.
- Pokud dochází k přechodům na vyšší hladinu, jedná se o tzv. *vyšší harmonické přechody (overtony)*. Jejich frekvence jsou *přibližně* násobkem fundamentální frekvence (energetické hladiny se postupně zhušťují).
- Pokud dojde k současné změně dvou vibračních stav molekuly jedná se o *kombinační přechody*.

# Vibrace ve víceatomové molekule

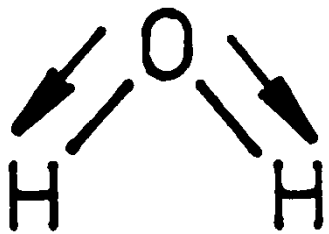
- Víceatomové molekuly můžeme popsat jako soustavy hmotných bodů.
- Výsledná vibrace je rovna součtu normálních vibrací.
- Počet normálních vibrací je roven počtu vibračních stupňů volnosti. Pro nelineární molekulu o  $N$  atomech je počet vibrací roven  $3N-6$ , u lineární je to  $3N-5$ .

# Valenční a deformační vibrace

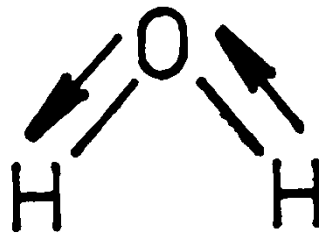
- Valenční vibrace – dochází ke změně mezijaderné vzdálenosti.
- Deformační vibrace – dochází ke změně vazebného úhlu.

# Vibrace v molekule vody

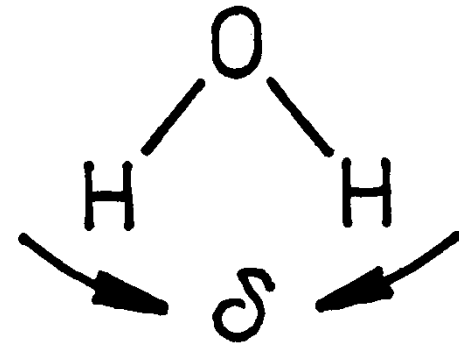
- Voda –  $\text{H}_2\text{O}$  –  $N = 3$
- $3N - 6 = 3 \times 3 - 6 = 3$



$\nu_s$  a)



$\nu_{as.}$  b)



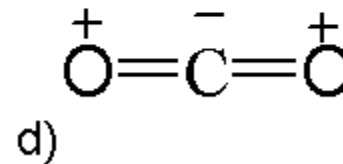
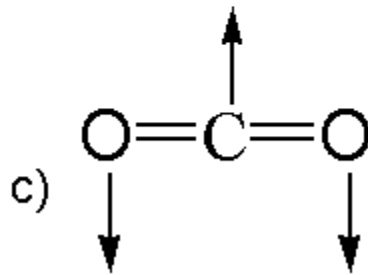
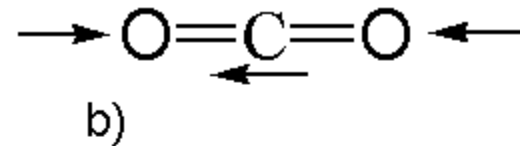
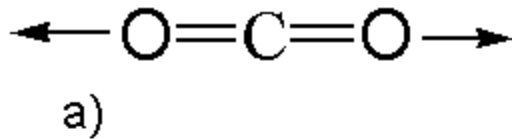
c)

a) Valenční symetrická vibrace; b) valenční antisymetrická vibrace; c) deformační vibrace



# Vibrace v molekule oxidu uhličitého

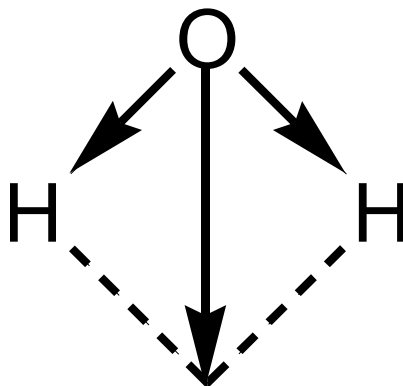
- Lineární molekula -  $\text{CO}_2$  -  $N = 3$
- $3N - 5 = 3 \times 3 - 5 = 4$



- a) Valenční symetrická vibrace; b) valenční antisymetrická vibrace; c) rovinná deformace;  
d) mimorovinná deformace

# Dipólový moment

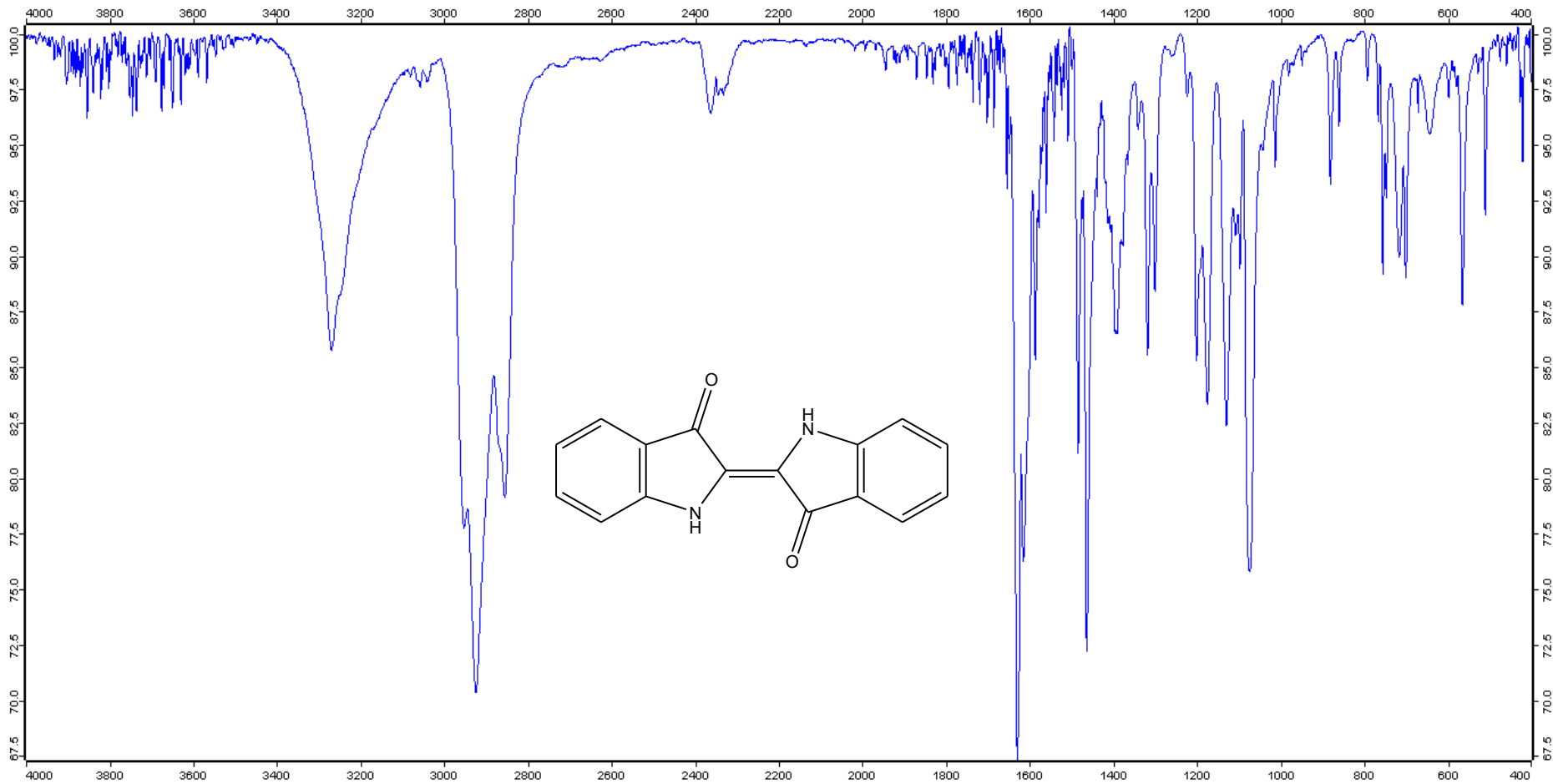
- Vektor popisující rozložení elektrického náboje v molekule.
- Výsledný dipólmoment získáme vektorovým součtem dipólmomentů jednotlivých vazeb.



# Absorpce infračerveného záření

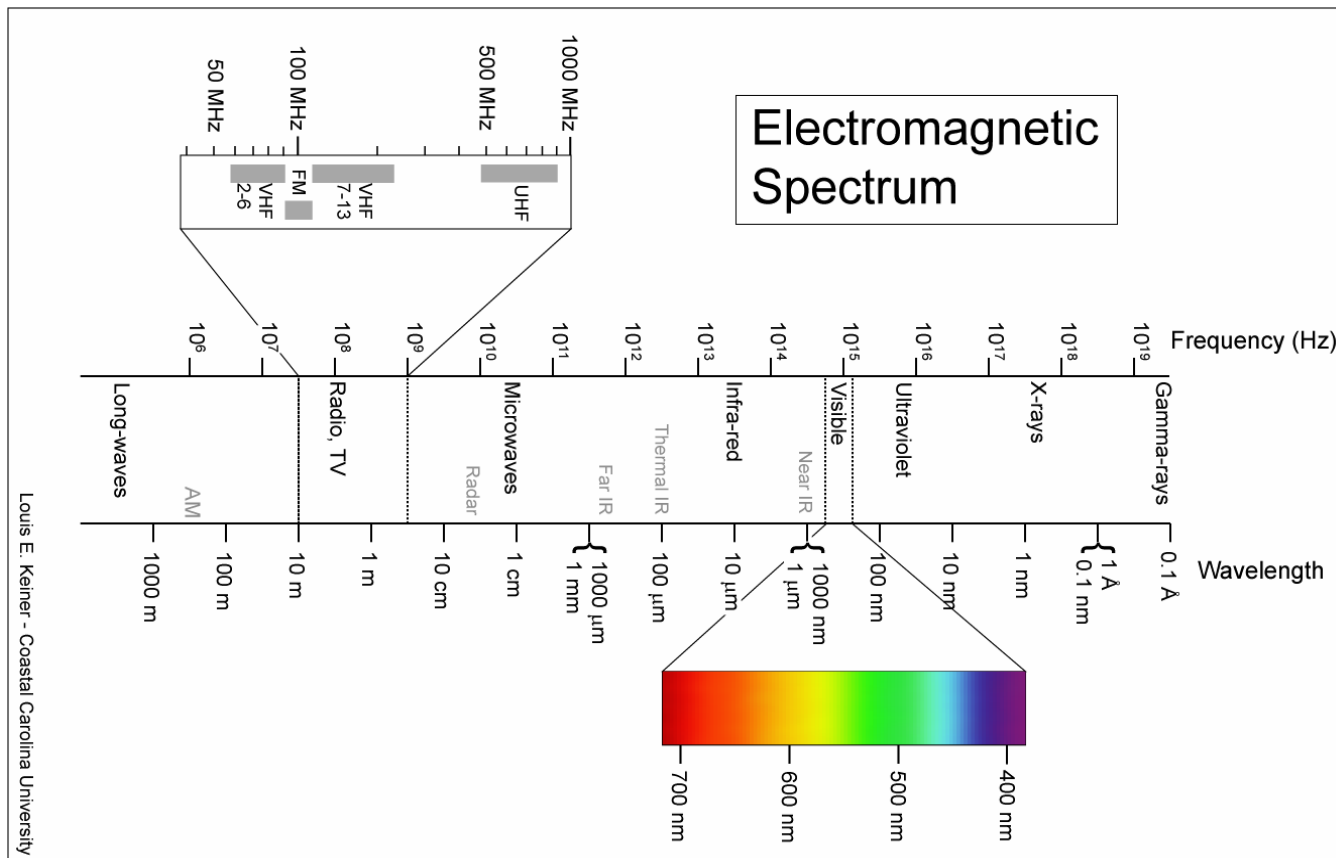
- Aby mohla molekula absorbovat infračervené záření musí během vibrace docházet ke změně dipólového momentu.
- Při absorpci dochází ke změně amplitudy vibrace, frekvence zůstává nezměněna.
- Intenzita absorpčních pásů je úměrná druhé mocnině změny dipólového momentu.
- Absorpcí infračerveného záření molekulami vznikají pásová spektra.

# Absorpční spektrum



# Infračervené záření

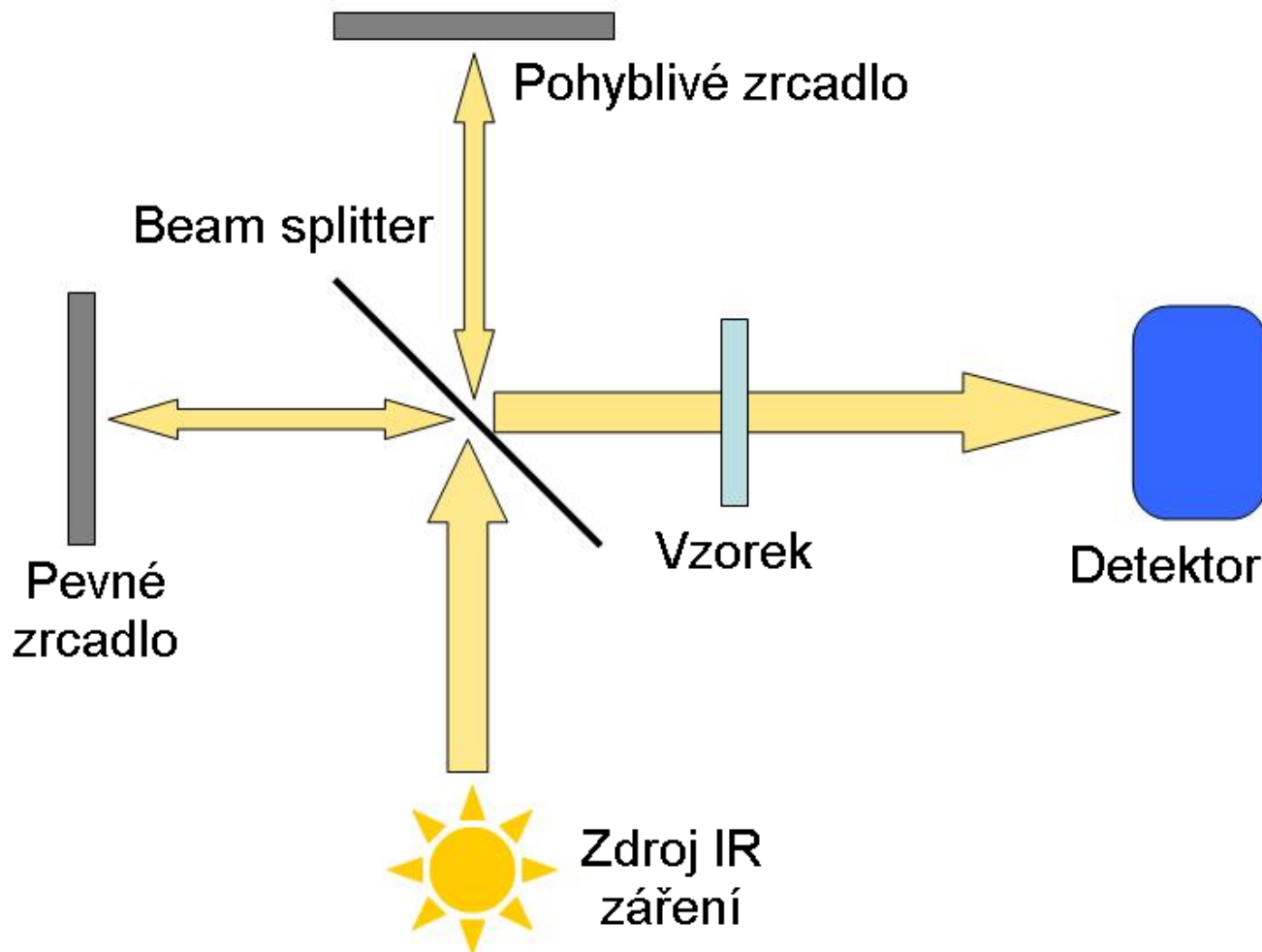
- NIR - (0.7–5  $\mu\text{m}$ ) – blízká infračervená oblast
- MIR - (5–30  $\mu\text{m}$ ) – střední infračervená oblast
- FIR (30–1000  $\mu\text{m}$ ) – vzdálená infračervená oblast



# Infračervený spektrometr

- Disperzní – za vzorkem je umístěn monochromátor (mřížka), který postupně propouští jednotlivé vlnové délky na detektor.
- Nedisperzní – využívá monochromatické zdroje záření.
- Interferometrický spektrometr (FT-IR)
  - neobsahuje monochromátor, ale *interferometr* (Michelsonův interferometr)
  - celé spektrum se snímá najednou a získaný *interferogram* je nutné zpracovat pomocí Fourierovy transformace.

# Infračervený spektrometr



# Infračervený spektrometr





# Zdroj infračerveného záření

- ▣ Nernstova lampa – lampa s žhavenou keramickou tyčinkou
- ▣ Globar
  - tyčinka z karbidu křemíku vyhřívána na teplotu 1000-1400 °C.
  - keramická tyčinka omotaná odporovým drátem, který ji vyhřívá
  - nejběžnější zdroj záření pro FT-IR spektrometry
- ▣ IR LED – diody z III/V polovodičů, poskytují monochromatické záření.
- ▣ IR lasery – plynové nebo pevnolátkové lasery, zdroje monochromatického záření.

# Detektory

▣ Nejčastěji se využívají pyroelektrické detektory.

- DLaTGS

- triglycinsulfát dopovaný L-alaninem
- pyroelektrický detektor (krystal, po dopadu záření dojde k jeho ohřátí a tím vzniku elektrického napětí na povrchu krystalu)

- MCT

- mercury/cadmium/telluride
- fotovodivostní detektor (dioda)
- citlivější než DLaTGS
- vyžaduje chlazení na teplotu kapalného dusíku

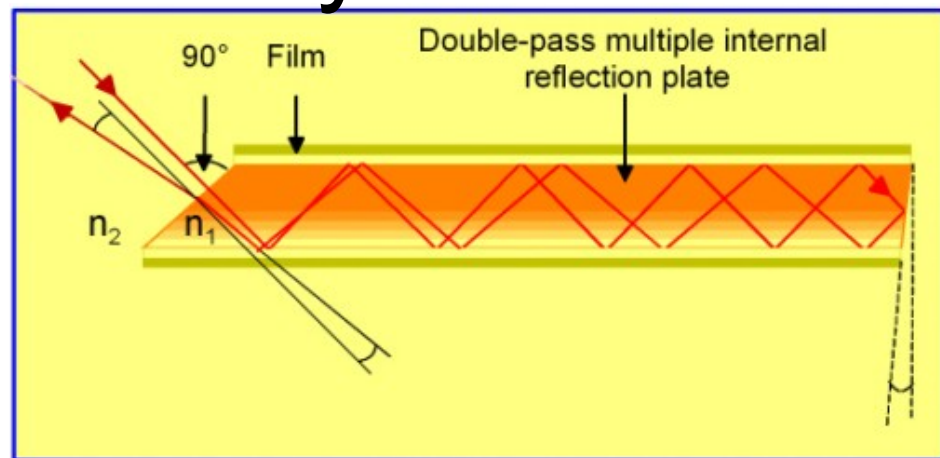
# Měřicí techniky

- Transmisní
  - Měříme absorpci záření při průchodu vzorkem.
  - Lambert-Beerův zákon
  - Pevné látky se měří ve formě suspenze v nujolu nebo jako KBr tablety.
  - Kapaliny měříme ve formě tenkého filmu nebo vrstvy.
  - Plyny se měří ve speciálních plynových kyvetách s velkou délkou dráhy paprsku.

# Měřící techniky

- ATR – Attenuated Total Reflection

- zeslabený celkový odraz
- měříme jednoduchý nebo
- vícenásobný úplný odraz
- záření na rozhraní měřeného vzorku a měřicího krystalu.
- Krystaly jsou z ZnSe, Ge, KRS-5 (směs bromidu a iodidu thallného) nebo křemíku.

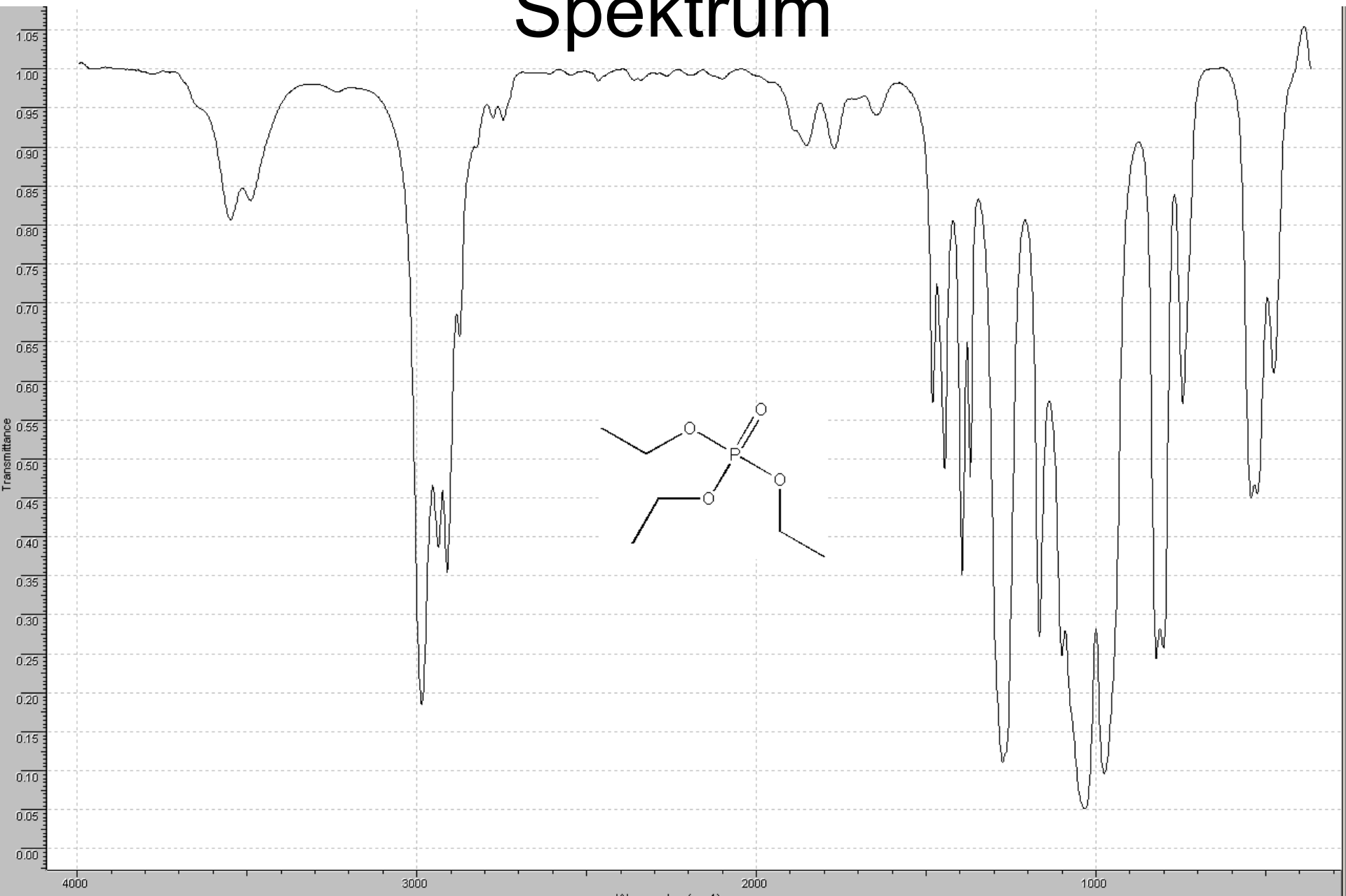


- IRRAS – IR Reflection Absorption Spectroscopy

- DRIFTS – Diffuse Reflectance Infrared Fourier Transform Spectroscopy

- PAS – Photo Acoustic Spectroscopy

# Spektrum



# Příprava vzorku



# Příprava vzorku



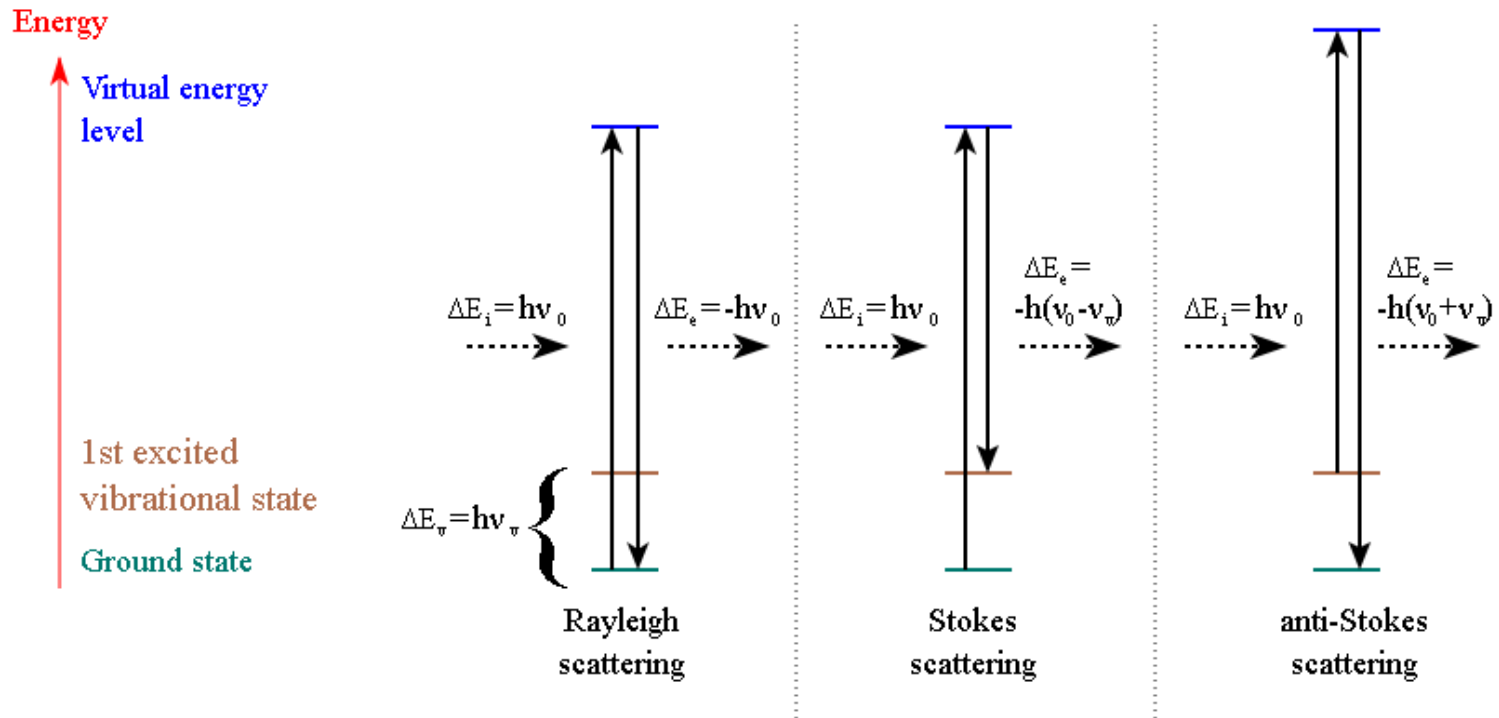
# Ramanova spektroskopie

- Komplementární metoda k infračervené spektroskopii.
- 1928 – Sir Chandrasekhara Venkata Rāman objevil nepružný rozptyl záření (Ramanův rozptyl).
- Využívá silné zdroje monochromatického záření – lasery.
- Při interakci se vzorkem dochází z největší části k Rayleighovu rozptylu, energie rozptýleného záření je stejná jako energie excitujícího záření.
- S nižší pravděpodobností dochází k Ramanovu rozptylu, kdy záření část své energie předává vzorku (Stokesovy linie) nebo ji naopak vzorku odebírá (Anti-Stokesovy linie).
- Aby mohlo dojít k Ramanovu rozptylu, děj musí být spojen se změnou tenzoru polarizovatelnosti.



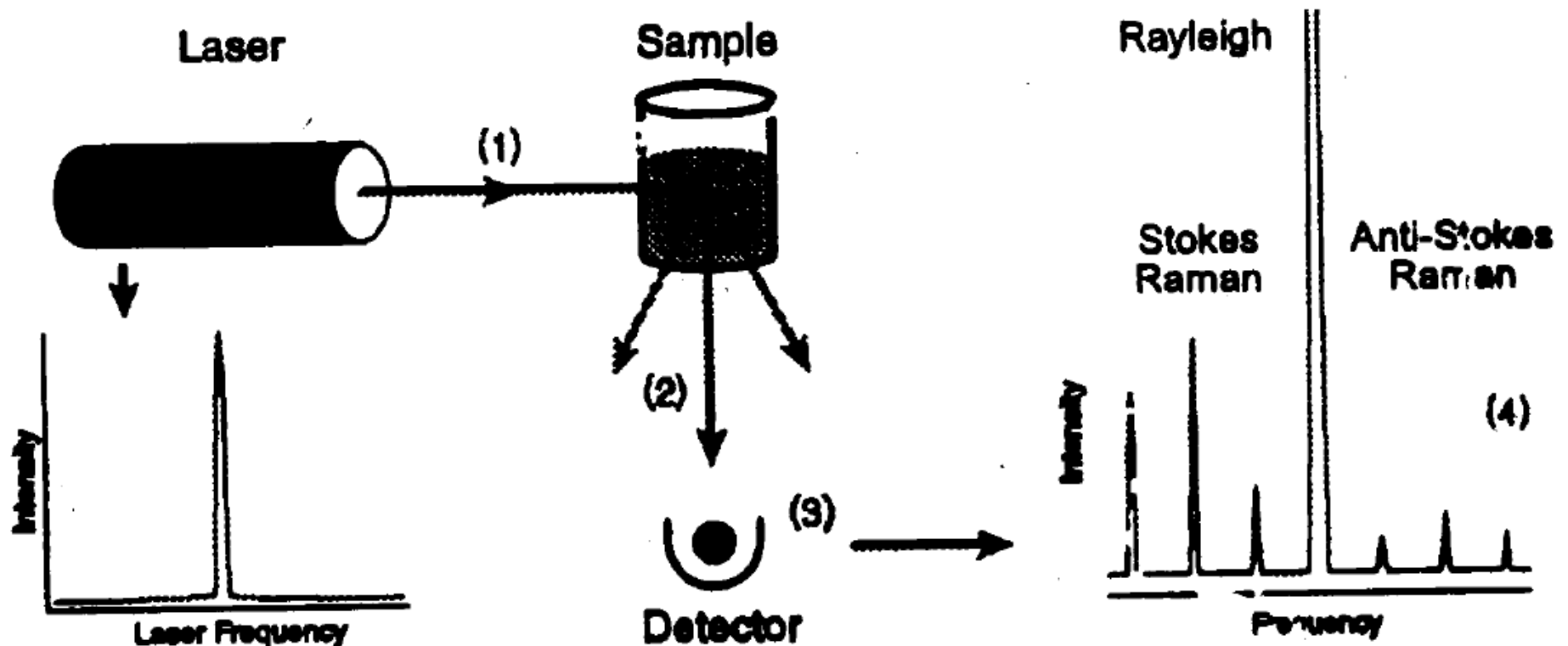


# Ramanova spektroskopie



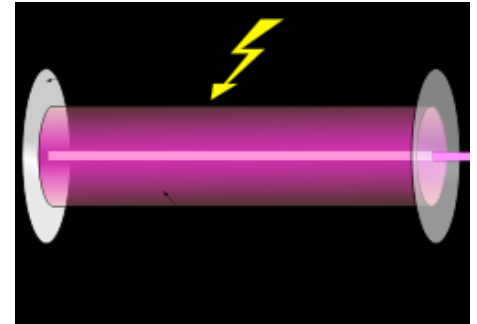
<http://commons.wikimedia.org/wiki/File:Ramanscattering.svg>

# Ramanova spektroskopie



# Lasery

- Light Amplification by Stimulated Emission of Radiation
- He-Ne laser – 632,8 nm
- Ar laser – 488 nm, 496,5 nm a 514,4 nm
- Kr laser – 530,9 nm a 674,1 nm
- Nd:YAG laser – 1064 nm
- laserové diody
- ladiťelné lasery



# Ramanova spektroskopie

Bruker EQUINOX IFS 55/S s Ramanovým nástavcem FRA 106/S

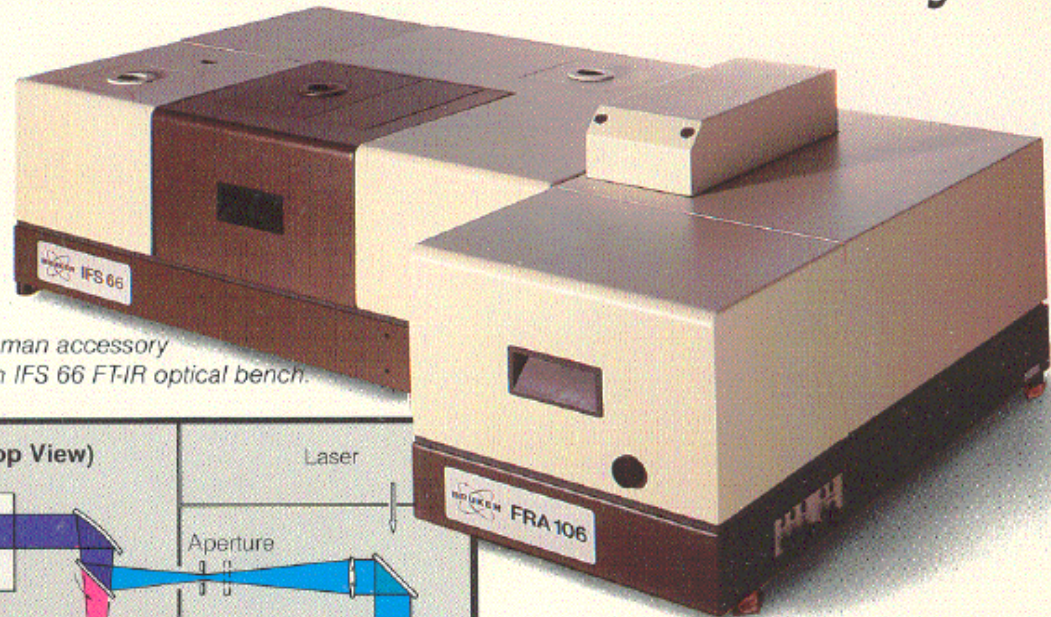




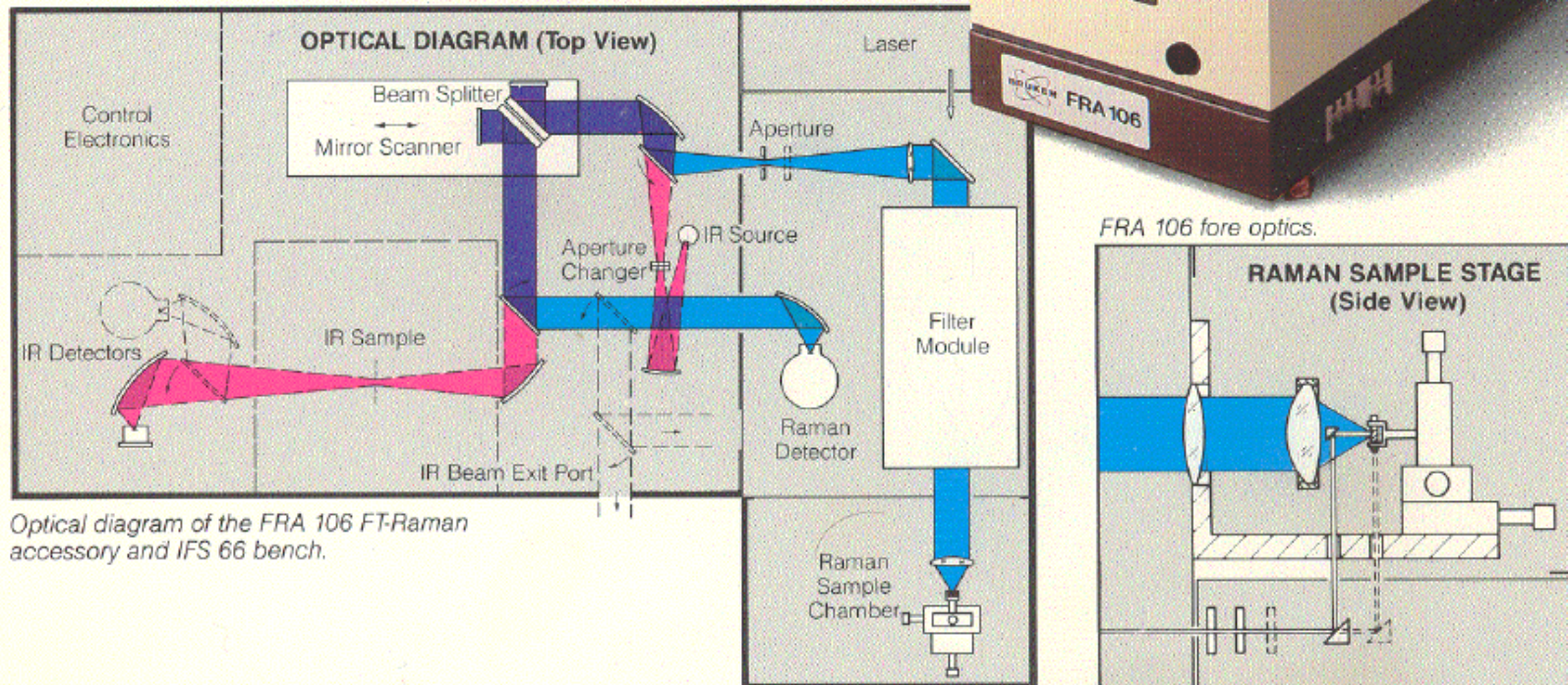
# Ramanova spektroskopie

## The Bruker FRA 106 FT-Raman Accessory.

The FRA 106 enables the analyst to routinely collect essentially fluorescence-free Raman data without sample preparation.



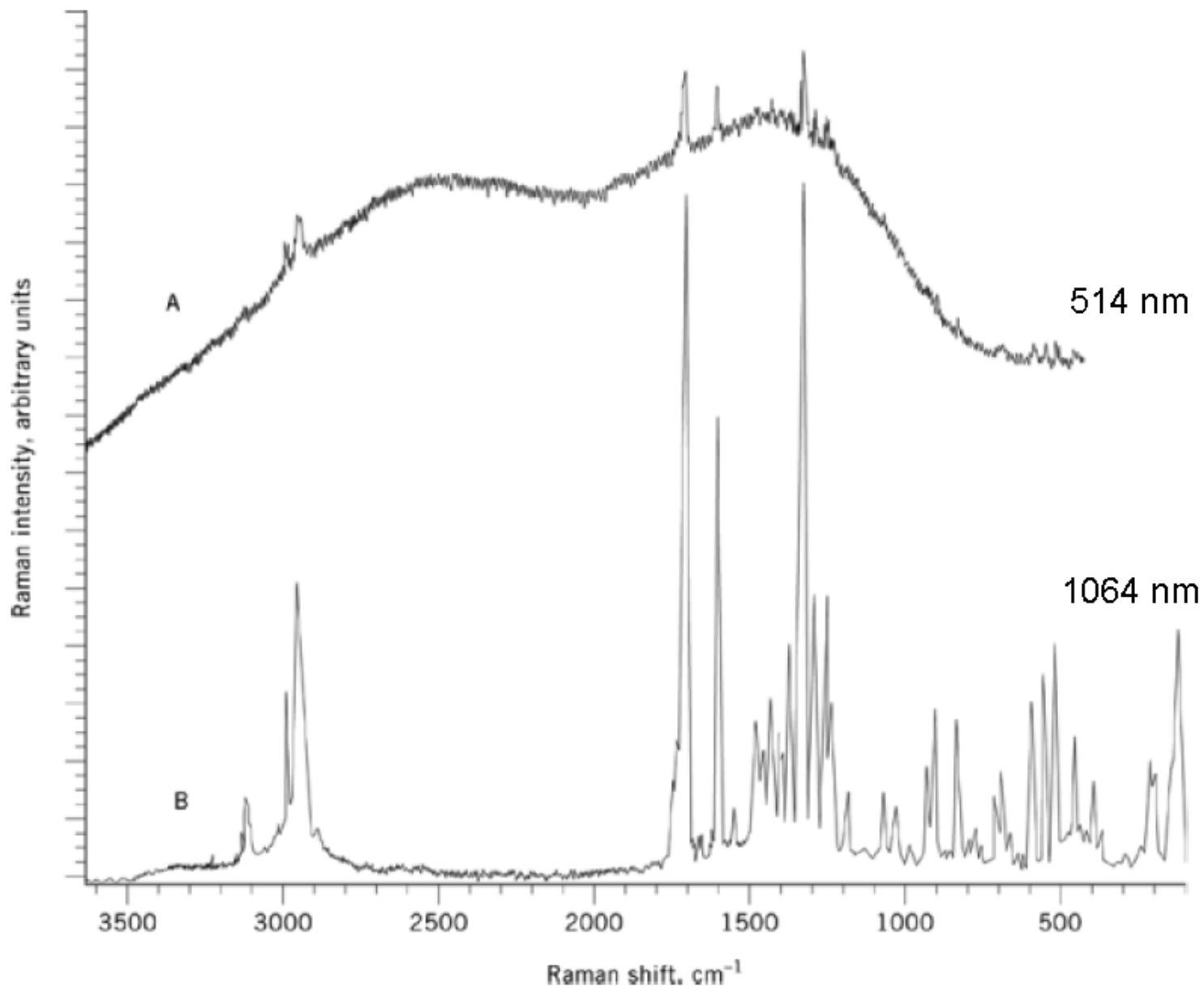
*FRA 106 FT-Raman accessory mounted on an IFS 66 FT-IR optical bench.*



*Optical diagram of the FRA 106 FT-Raman accessory and IFS 66 bench.*

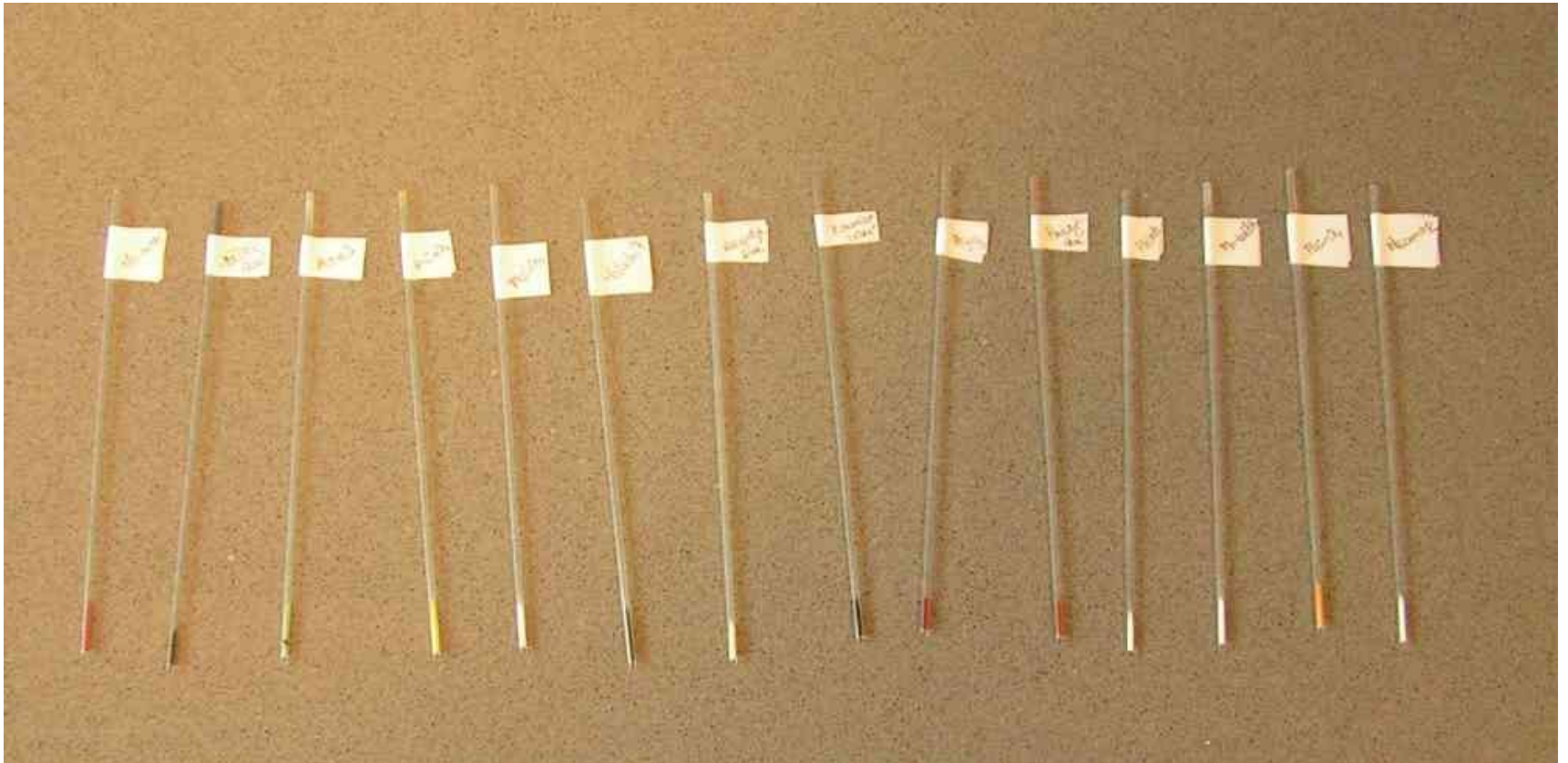
# Příprava vzorků

- Jednodušší než u IR spektroskopie.
- Pevné vzorky se měří ve skleněných kapilárách nebo jako tenké vrstvy na vhodném substrátu. Větší vzorky lze uchytit do držáku vzorku bez úpravy.
- Kapalné vzorky se také plní do kapilár.
- Pro měření plynných vzorků se využívají kyvety s násobným odrazem.
- Komplikací při měření bývá luminiscence vzorku. Lze ji potlačit změnou vlnové délky laseru, pokud to spektrometr umožňuje.



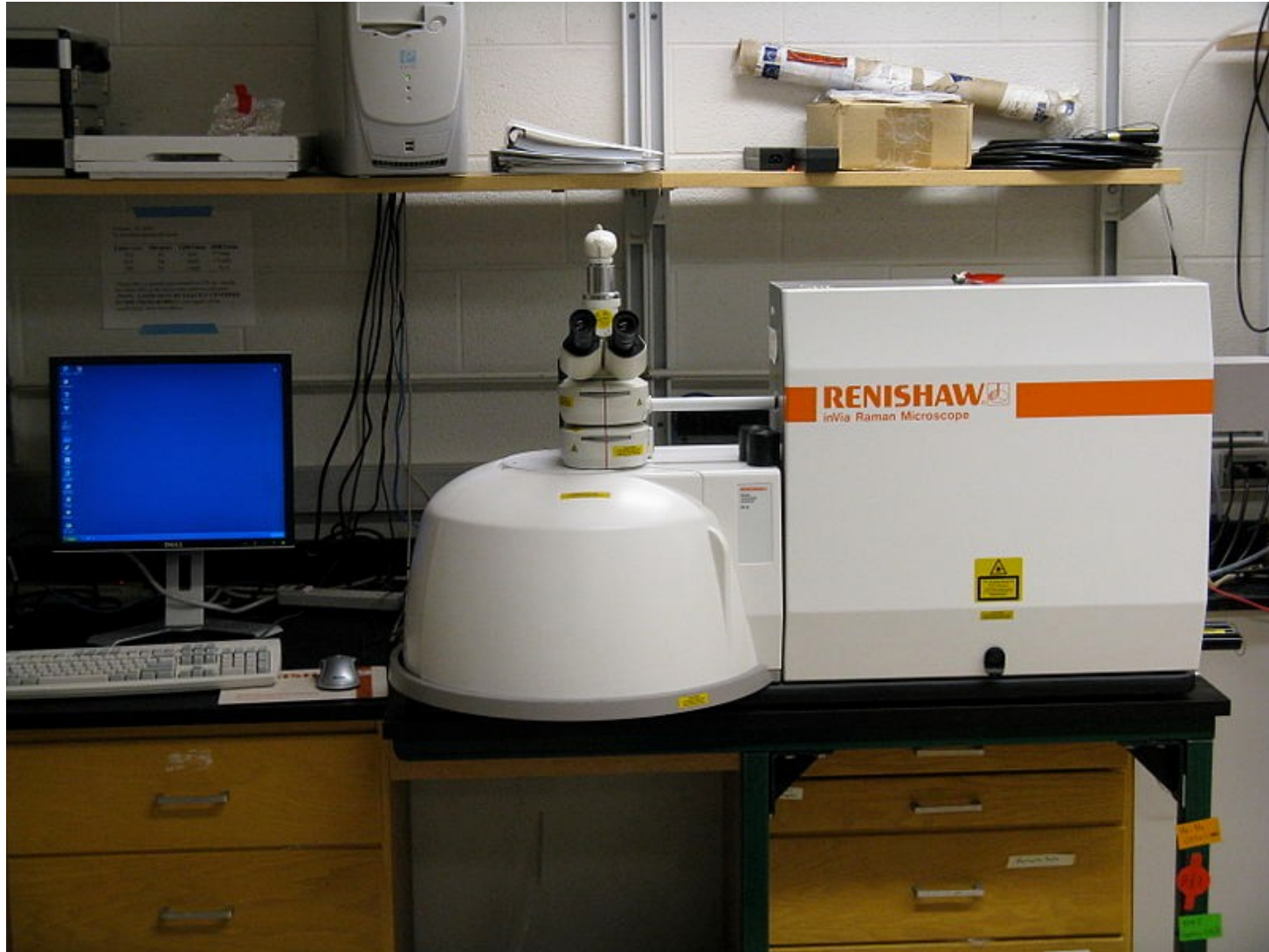


# Ramanova spektroskopie





# Ramanův mikroskop



[http://commons.wikimedia.org/wiki/File:InVia\\_Raman\\_microscope\\_-\\_March\\_2008.jpg](http://commons.wikimedia.org/wiki/File:InVia_Raman_microscope_-_March_2008.jpg)